



# БИООРГАНИЧЕСКАЯ ХИМИЯ

том 10 \* № 5 \* 1984

УДК 577.152.273\*2.042

## АФФИННАЯ МОДИФИКАЦИЯ КРЕАТИНКИНАЗЫ ИЗ СКЛЕТЕННЫХ МЫШЕЙ КРОЛИКА $\gamma$ -АМИДОМ АТР — ПРОИЗВОДНЫМ АЗОТИСТОГО ИПРИТА

Невинский Г. А., Газарянц М. Г.,\* Лаврик О. И.

Новосибирский институт органической химии Сибирского отделения  
Академии наук СССР; \* Институт экспериментальной биологии  
Академии наук АрмССР, Ереван

Исследована модификация креатинкиназы с помощью  $\gamma$ -(N-(2-хлорэтил)-N-метил)амида АТР. Полной инактивации фермента соответствует ковалентное присоединение 1,7–1,8 моль аналога на 1 моль функционального димера. Субстраты АТР и ADP полностью защищают фермент от инактивации и ковалентного присоединения аналога к киназе. Скорость модификации фермента зависит от концентрации реагента, ионов магния и pH реакционной смеси. Оценены величины  $K_d$  обратимого связывания аналога с креатинкиназой (1,0 и 1,5 mM) и константы максимальной скорости необратимой модификации фермента ( $2,1 \cdot 10^{-3}$  и  $1,2 \cdot 10^{-3}$  с<sup>-1</sup>) в отсутствие и присутствии ионов магния. Показано, что неидентичные M- и M'-субъединицы фермента модифицируются аналогом АТР с разной скоростью. В обеих субъединицах ковалентному блокированию подвергаются остатки аминокислот с рK 7,7. Сделано предположение, что алкилированию подвергается имидазольное кольцо остатка гистидина, выполняющего роль общего кислотно-основного катализатора при депротонировании гуанидиниевой группировки креатина в процессе фосфорилирования последнего АТР.

Креатинкиназа (АТР: креатинфосфотрансфераза, КФ 2.7.3.2) катализирует обратимую реакцию переноса фосфорильного остатка с Mg<sup>2+</sup>·АТР на креатин. Фермент с молекулярной массой 82 000 состоит из двух неидентичных субъединиц примерно с одинаковой молекулярной массой [1, 2]. Одна из субъединиц фермента катализирует прямую реакцию (fosфорилирование креатина) с максимальной скоростью при pH реакционной среды 8,5–9,5, а обратную реакцию — при pH 7,5–8,0. Вторая субъединица киназы проявляет максимальную активность в прямой реакции при pH 5,5–5,7, а в обратной реакции — при pH 5,0 и меньше [1, 2]. В работах [1, 2] мы предложили называть первую субъединицу белка M-субъединицей, а вторую — M'-субъединицей.

Ранее для исследования нуклеотидсвязывающих центров креатинкиназы из скелетных мышц кролика были использованы фотоактивные аналоги нуклеотидов:  $\gamma$ -(n-азидоанилиды) АТР [1–3] и  $\varepsilon$ АТР [4–6];  $\beta$ -(n-азидоанилид)  $\varepsilon$ ADP [6] и 2',3'-диальдегидные производные АТР и ADP [7], полученные окислением соответствующих нуклеотидов периодатом циния. Известно \*\*, что Ста-АТР инактивирует креатинкиназу, причем в присутствии АТР наблюдается замедление инактивации фермента. Эти данные необходимы, но недостаточны для установления аффинности процесса модификации фермента аналогом субстрата. В связи с этим в данной работе исследована зависимость скорости модификации киназы от концентрации Ста-АТР и стехиометрия ковалентного присоединения аналога АТР к ферменту. Сделана попытка установить аминокислотный остаток, модифицируемый Ста-АТР в активном центре креатинкиназы.

Исследование инактивации киназы Ста-АТР при различных температурах реакционной смеси свидетельствует (рис. 1), что скорость инактивации значительно увеличивается при температурах выше 30°C. Энергия

Сокращения: Ста-АТР —  $\gamma$ -(N-(2-хлорэтил)-N-метил)амид АТР; Нерес — 2-N-гидроксиэтилпиперазин-N'-2-этансульфоновая кислота.

\*\* Данные М. А. Грачева и сотр. (НИОХ СО АН СССР). Работа будет опубликована позже.

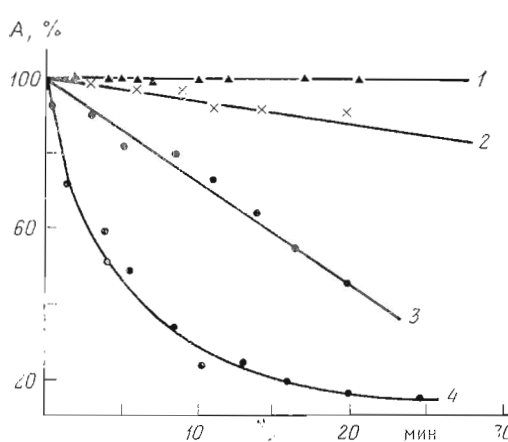


Рис. 1

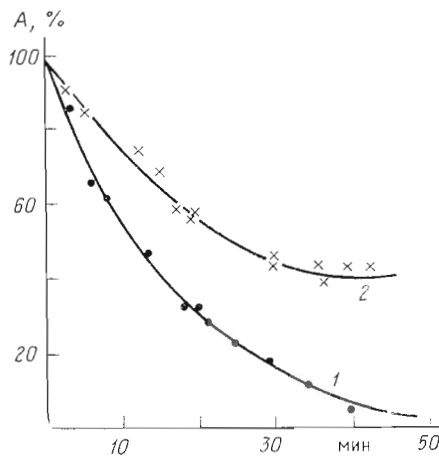


Рис. 2

Рис. 1. Зависимость активности креатинкиназы (по обратной реакции, рН 7,5 — см. «Экспер. часть») от времени инкубации с Ста-АТР в отсутствие  $Mg^{2+}$  при 15° (1), 20,4 (2), 30,3 (3) и 38° С (4). Условия инкубации: [E] 0,5 мг/мл, 0,05 М Hepes/NaOH-буфер, рН 8,5

Рис. 2. Зависимость активности креатинкиназы при 30° С от времени инкубации с Ста-АТР (1,9 мМ) в отсутствие (1) и в присутствии (2) ацетата магния (5,7 мМ). Условия — см. рис. 1

активации реакции модификации фермента была оценена равной  $39 \pm 3$  ккал/моль. Уже при 15° С не наблюдается заметной инактивации фермента даже в течение 2–3 ч. Это позволило нам останавливать реакцию модификации киназы Ста-АТР быстрым охлаждением реакционной смеси до 0° С. Эксперименты по модификации фермента аналогом АТР, описанные ниже, проведены при 30° С, поскольку, согласно работе [7], продолжительная (более 1 ч) инкубация креатинкиназы при более высоких температурах вызывает частичную инактивацию фермента за счет денатурации белка.

С помощью метода флуоресцентного титрования было показано, что величина  $K_d$  комплекса киназы с  $\gamma$ -(N-2-(оксиэтил)-N-метил)-амид АТР, равная 0,28 мМ, увеличивается в 3 раза (до 0,95 мМ) при добавлении ионов магния (5 мМ) [8]. Скорость инактивации фермента под действием Ста-АТР, как видно из рис. 2, также зависит от присутствия в инкубационной смеси ионов магния. Добавление ацетата магния замедляет процесс модификации киназы.

Были получены кинетические кривые инактивации креатинкиназы (рН реакционной смеси 8,5) при различных концентрациях Ста-АТР в присутствии и в отсутствие ионов магния (рис. 3). Зависимости логарифма остаточной активности фермента от времени его инкубации с Ста-АТР при различных концентрациях реагента в обоих случаях были линейными. Это указывало на исходный первый порядок реакции модификации киназы аналогом АТР как в присутствии ионов  $Mg^{2+}$ , так и без них. Такие данные были использованы для оценки какущихся констант скоростей инактивации ( $k_{инак}$ ) фермента при фиксированных концентрациях Ста-АТР. На рис. 4 приведены зависимости величин  $k_{инак}$  от концентрации Ста-АТР (в обратных координатах) в присутствии и в отсутствие в инкубационной смеси ацетата магния. С помощью этих зависимостей были оценены величины  $K_d$  комплексов креатинкиназы с Ста-АТР в отсутствие и в присутствии ионов  $Mg^{2+}$  (1,0 и 1,5 мМ соответственно), а также соответствующие константы максимальных скоростей инактивации фермента Ста-АТР ( $2,4 \cdot 10^{-3}$  и  $1,2 \cdot 10^{-3}$  с<sup>-1</sup>).

Было вычислено (см. «Экспериментальную часть»), что полной инактивации фермента с помощью Ста-АТР соответствует ковалентное присоединение 1,7–1,8 моль аналога на 1 моль фермента, т. е. ковалентному блокированию подвергаются оба активных центра функционального ди-

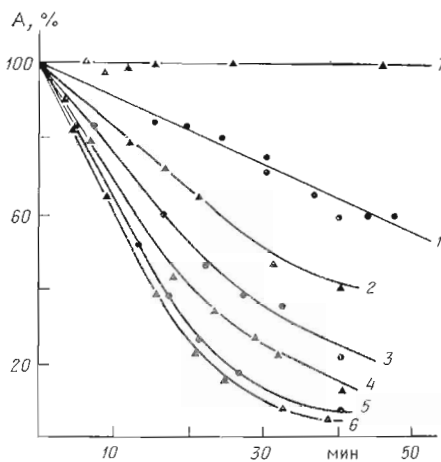


Рис. 3

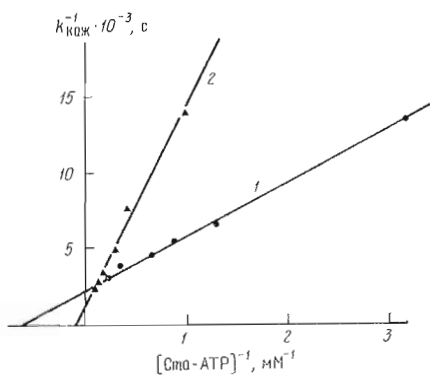


Рис. 4

Рис. 3. Зависимость активности креатинкиназы от времени инкубации при 30° С в отсутствие  $Mg^{2+}$  с Cma-ATP при его концентрациях 0,1 (1), 0,26 (2), 0,37 (3), 0,54 (4), 0,79 (5), 1,1 mM (6); 7 – инкубация без Cma-ATP. Условия – см. рис. 1, [E] 2 мкг/мл

Рис. 4. Зависимость величин  $k_{оказ}$  при 30° С от концентрации Cma-ATP (в обратных координатах) в присутствии (1) и в отсутствие (2) ацетата магния, добавленного в трехкратном избытке по отношению к концентрации Cma-ATP. Условия – см. рис. 1

мера. Исследование защитного действия субстратов ATP и ADP на процесс инактивации фермента Cma-ATP выявило ряд особенностей. Как видно из рис. 5а, добавление ADP (5 mM) в реакционную смесь в отсутствие ионов магния приводит только к частичной защите фермента от инактивации. Защитный эффект ADP (5 mM) был полным, когда в реакционную смесь добавляли ацетат магния (рис. 5а). Второй нуклеотидный субстрат полностью защищал креатинкиназу от инактивации с помощью Cma-ATP даже в отсутствие ионов  $Mg^{2+}$  (рис. 5б).  $Mg^{2+}\cdot ADP$  полностью защищает фермент не только от инактивации, но и от ковалентного присоединения Cma-ATP к белку.

Величины  $K_d$  комплексов ADP и  $Mg^{2+}\cdot ADP$  с креатинкиназой практически не различаются (0,11 и 0,09 mM [8]). Однако «время жизни» комплекса фермента с  $Mg^{2+}\cdot ADP$  примерно в 30 раз больше, чем для комплекса ADP (константы скорости диссоциации комплексов соответственно равны  $5,1\cdot 10^3$  и  $1,8\cdot 10^4 \text{ с}^{-1}$  [9]). По-видимому, это основная причина увеличения защитного эффекта магниевой соли ADP по сравнению со свободной ADP при их концентрациях, близких к насыщающим.

Таким образом, Cma-ATP является аффинным модификатором креатинкиназы. Процесс модификации фермента аналогом ATP полностью удовлетворяет всем основным критериям аффинности модификации биополимеров, описанным, например, в книге [10]. Модификация креатинкиназы сопровождается потерей ферментом свойственной ему активности. Начальная скорость модификации фермента изменяется в зависимости от начальной концентрации реагента по гиперболическому закону, достигая предельного значения при достаточно высоких концентрациях реагента. Сродство реагента к ферменту, определенное из зависимости скорости модификации от начальной концентрации реагента, можно сравнять со сродством химически неактивной формы реагента  $\gamma$ -(N-(2-оксиэтил)-N-метил)амида ATP, оцененным с помощью метода флуоресцентного титрования. Природные нуклеотидные субстраты ATP и ADP эффективно защищают киназу от модификации Cma-ATP. Стехиометрия ковалентного присоединения реагента к ферменту соответствует числу центров связывания киназой нуклеотидов.

В ряде случаев интерпретация данных по модификации ферментов химически активными аналогами субстратов затруднена. Так, наряду с аффинной модификацией активных центров ферментов возможно ковалент-

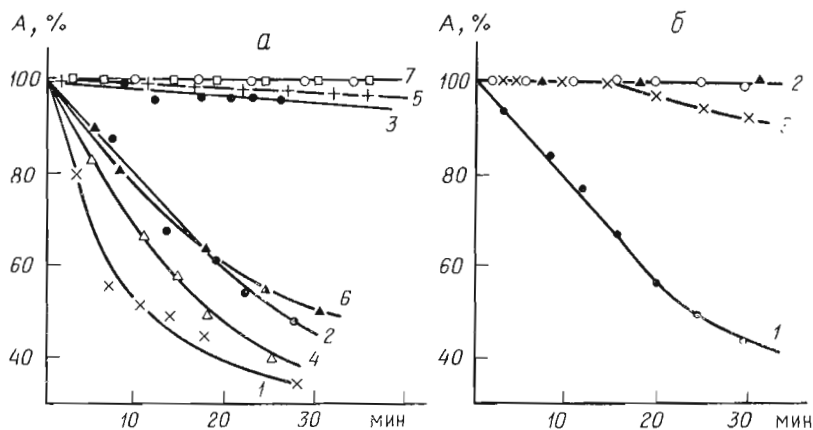


Рис. 5. Влияние ADP (а), ATP и креатина (б) на инактивацию креатинкиназы под действием Cma-ATP при 30° С. а - [Cma-ATP], [ADP], [Mg<sup>2+</sup>], мМ: 1 - 0,65; 0; 0; 2 - 0,65; 5; 0; 3 - 0; 5; 0; 4 - 1,5; 0; 4,5; 5 - 1,5; 5; 19,5; 6 - 0,77; 0; 2,3; 7 (кружки) - 0,77; 5; 17,3; 7 (квадраты) - 0; 5; 15. Активность фермента определяли с помощью обратной реакции, pH 7,5. Условия — см. рис. 1. б - [Cma-ATP], [ATP], [креатин], мМ: 1 - 0,35; 0; 0; 2 (кружки) - 0,35; 3,5; 2 (треугольники) - 0; 3,5; 0; 3 - 0,35; 0; 5. Активность фермента определяли с помощью прямой реакции, pH 8,5. Условия — см. «Экспер. часть»

ное присоединение реагента вне специфических центров связывания лигандов. Добавление конкурентного к аналогу субстрата может приводить к увеличению такой модификации белка или модификации субстратсвязывающих участков другой природы, например эфекторных центров [10]. Отсутствие подобных аномалий при модификации креатинкиназы Cma-ATP позволило нам сделать попытку более детально исследовать химический механизм модификации фермента аналогом ATP и локализацию аминокислотного остатка, модифицируемого Cma-ATP в активном центре фермента.

Ранее [1, 2] было показано, что креатинкиназа из скелетных мышц кролика состоит из неидентичных субъединиц, катализирующих прямую и обратную реакции в разных диапазонах pH. Однако причина такого различия в поведении субъединиц оставалась неясной. Не исключено, что в связывании или катализитическом превращении субстратов в активных центрах неидентичных субъединиц участвуют остатки различных аминокислот. Это предположение можно проверить, локализуя структурные элементы неидентичных субъединиц с помощью различных химически активных аналогов субстратов. С помощью аффинных реагентов, полученных окислением остатков рибозы в молекулах ATP и ADP, в активных центрах как M-, так и M'-субъединиц была локализована ε-аминогруппа остатка лизина [7]. Из стехиометрии ковалентного связывания Cma-ATP следует, что этот аналог ATP также модифицирует обе субъединицы киназы. Для определения вероятной разницы в модификации Cma-ATP M- и M'-субъединиц мы воспользовались возможностью следить за их активностью при pH реакционных смесей 8,5 и 5,0 соответственно, согласно работам [1, 2].

Из рис. 6 видно, что скорости инактивации M- и M'-субъединиц аналогом ATP (он был взят в достаточно высокой концентрации (5 мМ), поскольку pH может влиять на величину K<sub>d</sub> комплекса фермента с Cma-ATP), зависят от pH раствора и различаются. В то же время рK модифицируемых аналогом ATP групп в активных центрах M- и M'-субъединиц совпадают и равны 7,7.

По данным метода химической модификации, в активный центр креатинкиназы входят остатки лизина, аргинина, тирозина и гистидина [11]. ε-Аминогруппа остатка лизина локализована вблизи участка связывания рибозы молекулы ATP [7]. Обычный диапазон значений рK гидроксильной группы тирозина и гуанидиниевой группировки аргинина в белках равен 9–12 [9], а имидазольного кольца гистидина – 5–8 [9]. Вели-

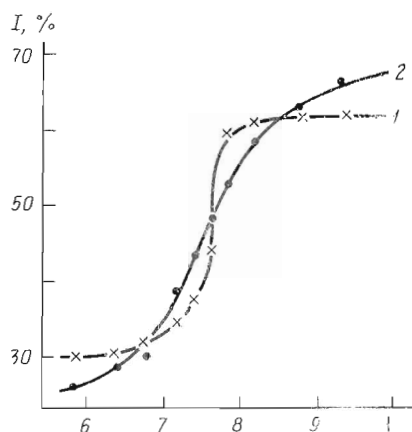


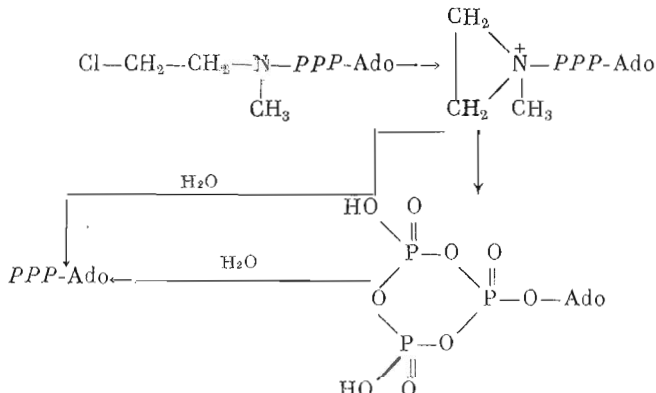
Рис. 6. Зависимости глубины инактивации ( $I, \%$ ) при  $30^\circ\text{C}$  отдельных М- (1) и М'- (2) субъединиц креатинкиназы за 10 мин инкубации фермента с Ста-АТР (5 мМ) от pH инкубационной смеси. Активность М- и М'-субъединиц киназы тестировали с помощью обратной реакции при pH реакционных смесей 8,5 и 5,0 соответственно. За 100% активности принимали начальную активность М- и М'-субъединиц при указанных pH. Расчет глубины инактивации субъединиц — см. «Экспер. часть»

чила  $\text{p}K$  7,7, полученная нами, наиболее вероятна для имидазола остатка гистидина.

В активных центрах креатинкиназы из скелетных мышц кролика (или вблизи них) расположены три остатка гистидина [12]. По данным исследования методом ЯМР зависимости химических сдвигов С-2-протонов этих гистидинов от pH среды [12], величины их  $\text{p}K$  составляют 7,0; 7,1 и 5,9. Значение  $\text{p}K$  одного из остатков гистидина (7,0) при насыщении фермента АТР увеличивается до 7,6–7,7. Значение  $\text{p}K$  нуклеофильной группы киназы, модифицируемой Ста-АТР, равное 7,7, практически совпадает с величиной  $\text{p}K$  гистидина (7,6–7,7) в присутствии нуклеотида. Этот остаток гистидина, согласно работам [12, 13], возможно, выполняет роль общего кислотно-основного катализатора, депротонирующего гуанидиновую группу креатина при фосфорилировании последнего  $\text{Mg}^{2+}\cdot\text{ATP}$ , и локализован в участке связывания креатина.

Как видно из рис. 5б, креатин эффективно защищает киназу от инактивации с помощью Ста-АТР. Это может свидетельствовать в пользу расположения модифицируемой в активном центре киназы нуклеофильной группы в участке связывания креатина. В работах [5, 6] показано, что креатин и креатинфосфат не влияют ни на уровень ковалентного присоединения, ни на глубину инактивации креатинкиназы при модификации фермента фотоактивными аналогами АТР и  $\epsilon$ АТР, когда химически активная группа, присоединенная по  $\gamma$ -фосфатам этих нуклеотидов, не взаимодействует с участком связывания гуанидиновых субстратов. На основании совпадения величин  $\text{p}K$  гистидина и модифицируемой Ста-АТР в киназе группы, а также проявления защитного эффекта креатина разумно предположить, что модификации в ферменте подвергается именно тот остаток гистидина, который служит акцептором протона при фосфорилировании креатина.

Как следует из работы М. А. Грачева и сотр. (см. выше), Ста-АТР в растворе может подвергаться превращениям по схеме



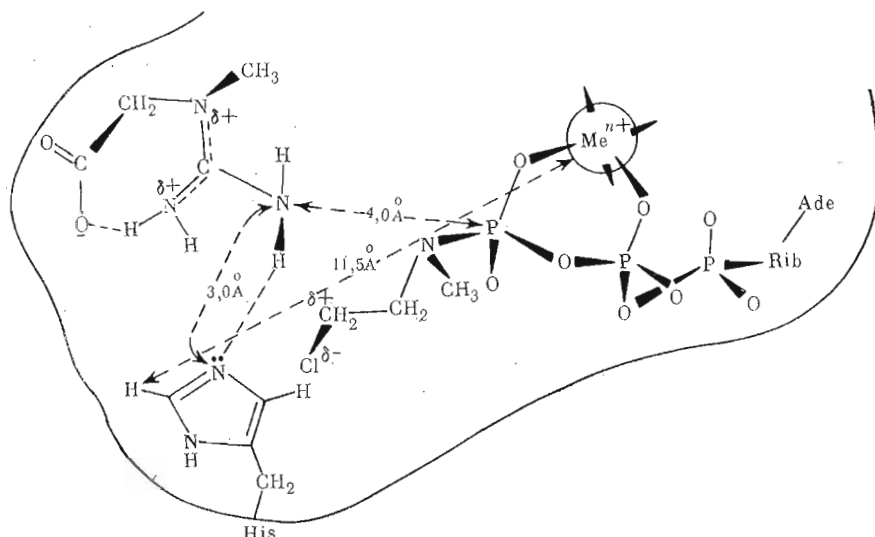


Рис. 7. Гипотетическая модель комплекса креатинкиназы с  $\text{Me}^{2+}\text{-Ста-АТР}$ . Расстояние  $11,5 \pm 0,5 \text{ \AA}$  между  $\text{Cr}^{3+}\text{-АТР}$  и C-2-протоном гистидина взято из работы [12],  $4,0 \pm 0,5 \text{ \AA}$  между атомом азота гуанидина и атомом фосфора  $\gamma$ -фосфата АТР – из работы [13],  $3,0 \pm 0,5 \text{ \AA}$  N–H...N – из работы [12]

В ходе гидролиза Ста-АТР кинетика накопления ионов хлора совпадает с кинетикой накопления протонов и образования АТР. Константы скоростей этих процессов равны  $2,4 \cdot 10^{-4} \text{ с}^{-1}$  при  $30^\circ\text{C}$  в отсутствие ионов  $\text{Mg}^{2+}$  ( $\text{pH } 7,0\text{--}9,0$ ). При добавлении в раствор Ста-АТР тиосоединений наблюдается их алкилирование. Соотношение продуктов фосфорилирования и алкилирования первичных аминов в условиях депротонирования аминогруппы ( $\text{pH } 10$  и выше) зависит от концентрации аминов в реакционной смеси, но при больших концентрациях аминов ( $0,2\text{--}1,0 \text{ M}$ ) преобладает реакция алкилирования.

Очевидно, что при использовании Ста-АТР в качестве реагента для модификации ферментов структура продукта реакции модификации будет зависеть от расположения пуклеофильных групп относительно  $\gamma$ -фосфата, этилениммониевого катиона (см. продукт циклизации на схеме превращения Ста-АТР) и хлорэтильной группировки аналога АТР. Как установлено М. А. Грачевым и сотр.\* Ста-АТР является аффинным реагентом ДНК-зависимой РНК-полимеразы из *E. coli*, причем в этом случае наблюдается фосфорилирование остатка гистидина в активном центре фермента.

Фосфорилирования креатинкиназы Ста-АТР скорее всего не происходит: 1) инкубация модифицированной аналогом киназы при  $30^\circ\text{C}$  в течение 3 ч при  $\text{pH}$  реакционной смеси 6,0 не приводит к какому-либо восстановлению активности фермента, хотя в этих условиях, согласно работе [14], должен наблюдаться заметный гидролиз фосфамидной связи между  $\gamma$ -фосфатом АТР и азотом имидазола; 2) как следует из гипотетической модели строения активного центра креатинкиназы, построенной на базе работ Милдвана и др. [12, 13] по изучению ядерной релаксации (рис. 7), расстояние между  $\gamma$ -фосфатом Ста-АТР и имидазолом с  $\text{pK } 7,7$  можно оценить равным 4–5  $\text{\AA}$ , что практически исключает возможность реакции фосфорилирования этого остатка с образованием фосфамидной связи.

Из-за большого расстояния между остатком имидазола и молекулой АТР в активном центре киназы маловероятна также и реакция алкилирования этого остатка через образование этилениммониевого катиона в молекуле Ста-АТР. Размер  $\text{N}-\text{CH}_2-\text{CH}_2$ -фрагмента Ста-АТР можно оценить равным 2,5–3  $\text{\AA}$ . В связи с этим разумно предположить, что реакция

\* Данные будут опубликованы позже.

ковалентного присоединения протекает по  $S_{N_2}$ -механизму при непосредственной атаке атомом азота остатка гистидина частичного положительного заряда на атоме углерода, связанном с атомом хлора ( $-^{\text{a}}\text{CH}_2-\text{Cl}$ ). Об этом свидетельствует величина максимальной скорости модификации фермента Сма-АТР ( $2,1 \cdot 10^{-3} \text{ с}^{-1}$ ), которая на порядок выше величины константы скорости образования этилениммониевого кationa в молекуле Сма-АТР ( $2,4 \cdot 10^{-4} \text{ с}^{-1}$ ). Высокая скорость модификации фермента по  $S_{N_2}$ -механизму без предварительного образования этилениммониевого кationa может быть обусловлена высокой эффективной концентрацией нуклеофила вблизи химически активной группы аналога АТР, возникающей после образования комплекса Сма-АТР с киназой. Как следует из работы [9], эффективная концентрация при образовании прочного комплекса лиганда с ферментом может превышать реальную концентрацию лиганда на 3–6 порядков. О прямом алкилировании остатка гистидина с помощью Сма-АТР по  $S_{N_2}$ -механизму говорит также высокая энергия активации реакции модификации фермента (39 ккал/моль), в то время как энергия активации образования этилениммониевого кationa несколько меньше (~30 ккал/моль).

Таким образом, нельзя полностью исключить, что реакция алкилирования гистидина протекает через образование промежуточного этилениммониевого кationa, но более вероятно прямое алкилирование имидазола по  $S_{N_2}$ -механизму.

Особый интерес представляет вопрос о причине замедления реакции модификации фермента Сма-АТР в присутствии ионов магния. Следует полагать, что в комплексе фермента с  $\text{Mg}^{2+}\text{-Сма-АТР}$  трифосфатная группа молекулы реагента посредством иона магния фиксирована в активном центре киназы в определенной конформации и обладает пониженной подвижностью по сравнению с трифосфатной группой свободной молекулы Сма-АТР в комплексе белка с аналогом. Замедление реакции может быть следствием как изменения ориентации хлорэтильной группы относительно остатка имидазола, так и уменьшения подвижности этой группы при образовании связи между ферментом и ионом магния  $\text{Mg}^{2+}\text{-Сма-АТР}$ .

Таким образом, достигнута аффинная модификация креатинкиназы из скелетных мышц кролика с помощью алкилирующего аналога АТР. При модификации фермента аналогом не наблюдается заметного уровня ковалентного присоединения реагента вне активных центров фермента. В неидентичных М- и М'-субъединицах фермента модификации подвергаются остатки аминокислот с одинаковой величиной р $K$  (7,7). На основании совокупности полученных данных сделано предположение, что в активных центрах креатинкиназы имеет место прямое алкилирование имидазольного кольца остатков гистидина по  $S_{N_2}$ -механизму без предварительного образования в молекуле Сма-АТР промежуточного этилениммониевого кationa. Следует полагать, что Сма-АТР является перспективным аффинным реагентом для сравнения структурных элементов М- и М'-субъединиц креатинкиназы на уровне модифицируемых аналогом АТР пептидов.

### Экспериментальная часть

В работе использовали 90%-ный, по данным электрофореза в полиакриламидном геле, препарат креатинкиназы из скелетных мышц кролика, полученный по методу Кьюби в модификации Четвериковской с сотр. [15]. Удельная активность фермента 200 мэкв. Н<sup>+</sup> (мг·мин). N-(2-хлорэтил), γ-N-метиламид АТР были любезно предоставлены А. А. Мустаевым (ИОХ СО АН СССР, Новосибирск), а также получен согласно методу М. А. Гравчева и сотр. (см. выше). В работе использовали АТР, ADP, креатин и креатинфосфат (Reanal, BHP), Нерес (Ferak, ФРГ), сефадекс G-100, грубый (Pharmacia, Швеция).

Активность креатинкиназы в обратной реакции измеряли с помощью колориметрического метода по образованию креатина в соответствии с работой [2]. Реакционная смесь объемом 0,15–0,2 мл содержала 5 мМ ADP,

10 мМ креатинфосфат, 10 мМ ацетат магния, 0,1–0,3 мкг/мл креатинкиназы, 0,1 М трис-ацетатный буфер, pH 7,5. В случае исследования зависимости скорости модификации отдельных M- и M'-субъединиц активность первой субъединицы определяли в 0,05 М Hepes/NaOH-буфере, pH 8,5, а второй – в 0,1 М натрий-ацетатном буфере, pH 5,0. Остальные компоненты реакционной смеси были как при определении активности полного фермента. Реакционную смесь инкубировали 1 мин при 30° С, реакцию останавливали, добавляя 0,2 мл щелочной смеси, содержащей 1% α-нафтофола [1], затем 0,1 мл 2,5% раствора диацетила, разбавляли 2–5 мл воды. Количество образовавшегося креатина измеряли колориметрически при 520 нм.

*Активность киназы в прямой реакции* определяли потенциометрически [16] согласно работе [2]. Измерения вели в термостатированной кювете при 30° С и непрерывном перемешивании. Реакционная смесь объемом 1,5 мл содержала 40 мМ креатин, 4 мМ ATP, 10 мМ ацетат магния, 1 мМ дитиотрейт, 0,1 мМ этилендиаминтетрауксусную кислоту, 0,1 М ацетат натрия. Реакцию начинали добавлением 0,3–1,0 мкг фермента. О начальной скорости судили по расходу 0,01 н. NaOH за первые 3 мин.

*Модификацию креатинкиназы Cma-ATP* проводили при 30° С в смеси объемом 0,2–0,3 мл, которая содержала 0,5–0,6 мг/мл киназы, 0,05 М буфер, 0,01–5 мМ Cma-ATP. При исследовании влияния ATP и ADP на скорость модификации эти нуклеотиды добавляли в концентрации 3–5 мМ. В экспериментах по влиянию на модификацию фермента ионов магния в реакционную смесь добавляли ацетат магния в концентрации, в 3 раза превышающей общую концентрацию нуклеотидов. При исследовании защитного эффекта креатина его добавляли в концентрации 5 мМ. Реакцию модификации фермента осуществляли в буферных растворах: pH 6,0–6,6 натрий-ацетатный буфер; pH 7,2–10 Hepes/NaOH-буфер. Величину pH растворов для модификации измеряли непосредственно для используемой концентрации буфера (0,05 М) с помощью рН-метра pH-262 с разверткой 1 единица pH на всю шкалу при 30° С. В процессе модификации из реакционных смесей отбирали аликвоты (1–10 мкл), которые использовали для определения активности фермента в прямой и обратной реакциях.

Для сравнения скорости модификации M- и M'-субъединиц киназы фермент (0,5 мг/мл) инкубировали с Cma-ATP (5 мМ) при различных pH (6–10), из инкубационных смесей через каждые 3–5 мин (всего 10–15 проб) отбирали аликвоты (20–30 мкл), которые быстро охлаждали до 0° С. Из них отбирали аликвоты (1–5 мкл) для определения активности M- и M'-субъединиц белка при pH реакционных смесей 8,5 и 5,0 соответственно. Исходную активность субъединиц (0 мин инкубации) принимали за 100%. Для каждого фиксированного значения pH и каждой из субъединиц (M- и M') строили зависимость логарифма остаточной активности от времени инкубации фермента с аналогом, с помощью этих зависимостей находили усредненную величину глубины инактивации (%) M- и M'-субъединиц за 10 мин инкубации с Cma-ATP. Затем строили зависимость глубины инактивации отдельных субъединиц за 10 мин инкубации с аналогом ATP от pH инкубационной смеси.

*Стехиометрию ковалентного присоединения Cma-ATP к киназе* определяли следующим образом: в реакционную смесь объемом 2,1 мл, охлажденную до 0° С и содержащую 1 мг/мл белка, 0,05 М Hepes/NaOH-буфер, pH 9,0, добавляли Cma-ATP в концентрации 0,5–5 мМ. Аликвоту (1 мл) реакционной смеси (контрольная проба) подвергали гель-фильтрации при 4° С на колонке с сефадексом G-100 (15 мл) сразу после приготовления реакционной смеси. Другую часть (1 мл) реакционной смеси после ее инкубации при 30° С в течение 1–3 ч и достижения практически полной инактивации белка также подвергали гель-фильтрации. Колонка была уравновешена 0,05 М Hepes/NaOH-буфером, pH 9,0, содержащим 0,5 М KCl. Стехиометрию ковалентного связывания аналога ATP с белком рассчитывали по разнице поглощения при 260 нм 1 мг белка (2 мл) контрольной пробы и пробы после ее инкубации с Cma-ATP в условиях модификации. Защитный эффект ADP проверяли аналогичным сравнением

проб опыта и контроля. В экспериментах в пробы, содержащие и не содержащие ADP (5 мМ), добавляли ацетат магния в концентрации, в 3 раза превышающей суммарную концентрацию нуклеотидов.

Зависимость логарифма остаточной активности киназы при инкубации с СтА-АТР от обратной величины температуры ( $1/T$ ) имела линейный характер. Величина энергии активации ( $E_a$ ) была рассчитана как среднее трех величин  $E_a$ , найденных с помощью уравнения Аррениуса:

$$\ln \frac{v_{T_2}}{v_{T_1}} = \frac{E_a(T_2 - T_1)}{RT_1T_2},$$

где  $v_1$  и  $v_2$  — начальные скорости инактивации фермента аналогом АТР при температурах  $T_1$  и  $T_2$ ;  $R$  — газовая постоянная.

Величины  $k_{\text{инак}}$  инактивации киназы при фиксированных концентрациях СтА-АТР, а также величины максимальных скоростей инактивации фермента найдены по методу Китса — Вилсона согласно [17].

Восстановление активности фермента после его модификации СтА-АТР исследовали инкубацией инактивированной более чем на 99% киназы (0,5 мг/мл) в 0,1 М натрий-ацетатном буфере, pH 6,0, при 30°С в течение 1–5 ч. Аликовты раствора фермента, содержащие 10–15 мкг белка, отбирали через каждые 30 мин и добавляли в смесь для определения активности киназы с помощью обратной реакции (см. выше). Восстановления активности фермента не наблюдалось.

#### ЛИТЕРАТУРА

1. Nevinsky G. A., Ankilova V. N., Lavrik O. I., Mkrtchyan Z. S., Nersesova L. S., Ako-pyan J. I. FEBS Lett., 1982, v. 149, p. 36–40.
2. Невинский Г. А., Анкилова В. Н., Лаврик О. И., Мкртчян З. С., Нерсесова Л. С., Акопян Ж. И. Биохимия, 1983, т. 48, вып. 2, с. 339–349.
3. Акопян Ж. И., Газарянц М. Г., Мкртчян З. С., Нерсесова Л. С., Лаврик О. И., Попов Р. А. Биохимия, 1981, т. 46, вып. 2, с. 262–269.
4. Невинский Г. А., Денисов А. Ю. Биоорган. химия, 1981, т. 7, № 11, с. 1693–1700.
5. Денисов А. Ю., Невинский Г. А., Лаврик О. И. Биохимия, 1982, т. 47, вып. 2, с. 184–190.
6. Денисов А. Ю., Невинский Г. А., Лаврик О. И. Биоорган. химия, 1982, т. 8, № 1, с. 72–79.
7. Невинский Г. А., Газарянц М. Г., Мкртчян З. С. Биоорган. химия, 1983, т. 9, № 4, с. 487–495.
8. Бунева В. Н., Горшкова И. И., Лаврик О. И., Мустаев А. А., Попов Р. А. Молекулярная биология, 1980, т. 14, № 6, с. 1308–1312.
9. Фершт Э. Структура и механизм действия ферментов. М.: Мир, 1980, с. 37, 160, 167.
10. Аффинная модификация биополимеров/Ред. Кнорре Д. Г. Новосибирск: Наука, 1983, с. 56–81, 86–109.
11. Bickerstaff G. F., Price N. C. Int. J. Biochem., 1978, v. 9, p. 1–8.
12. Rosevear P. R., Desmeules P., Kenyon G. L., Mildvan A. S. Biochemistry. 1981, v. 20, № 21, p. 6155–6164.
13. Mildvan A. S. Philos. Trans. R. Soc., London, Ser. B, 1981, v. 283, p. 65.
14. Grachev M. A., Mustaev A. A. FEBS Lett., 1982, v. 137, № 1, p. 89–94.
15. Чегемикова Е. П., Кринская А. В., Розанова Н. А., Рыбина В. В., Алиевская Н. В. Биохимия, 1970, т. 35, № 5, с. 953–961.
16. Milner-White E. J., Watt D. S. Biochem. J., 1971, v. 122, № 5, p. 727–740.
17. Kitz R., Wilson J. B. J. Biol. Chem., 1962, v. 237, № 10, p. 3245–3249.

Поступила в редакцию  
30.VIII.1983

После доработки  
30.XI.1983

AFFINITY MODIFICATION OF CREATINE KINASE FROM RABBIT SKELETAL  
MUSCLE BY ATP  $\gamma$ -AMIDE, A DERIVATIVE OF NITROGENOUS MUSTARD

NEVINSKY G. A., GAZARYANTS M. G.,\* LAVRIK O. I.

*Novosibirsk Institute of Organic Chemistry, Siberian Branch  
of the Academy of Sciences of the USSR, Novosibirsk;\* Institute  
of Experimental Biology, Academy of Sciences of the Armenian SSR, Yerevan*

A study of creatine kinase modification by ATP  $\gamma$ -(N-(2-chloroethyl)-N-methyl)amide was performed. The attachment 1,7–1,8 moles of analogue per mole of functional dimer results in full inactivation of the enzyme. The substrates, ATP and ADP, protect the enzyme both against inactivation and covalent binding of analogue. The affinity modification rate depends on the reagent and magnesium ion concentrations and pH of the reaction mixture. The dissociation constants (1,0 and 1,5 mM) for the enzyme-analogue complexes and the affinity modification maximal rate constants ( $2,1 \cdot 10^{-3}$  and  $1,2 \cdot 10^{-3} \text{ c}^{-1}$ ) in the absence and presence of  $Mg^{2+}$  ions were estimated.

Some differences in the affinity modification rates were observed for the nonidentical M and M'-subunits of creatine kinase. The data obtained are indicative of a histidine residue alkylation by the ATP analogue. This histidine ( $pK\ 7,7$ ) may function as a general acid-base catalyst in deprotonation of the guanidinium group of creatine as the latter is phosphorylated by ATP.